

# 電磁気観測

岡本篤郎 夏目祐紀 山河和也  
上嶋誠 小山崇夫

# Introduction 電磁気観測で分かること

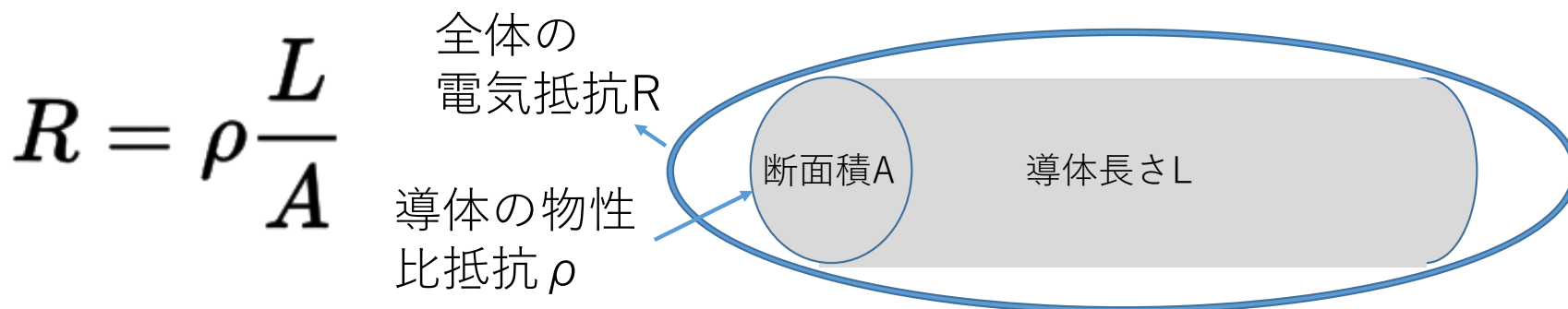
- 電磁気観測→地盤の比抵抗を調べる！
- 地下構造に関する情報が得られる  
(比抵抗が下がる→地盤が水を含んでいる可能性がある、など)

# Introduction 電磁気観測で分かること

- 電磁気観測→**地盤の比抵抗**を調べる！
- **地下構造**に関する情報が得られる  
(比抵抗が下がる→地盤が水を含んでいる可能性がある、など)

余談

- 比抵抗と抵抗の関係 → 密度と質量の関係のようなもの



# 電磁気観測の流れ

# 電磁気観測の流れ

## ①電極を刺す



# 電磁気観測の流れ

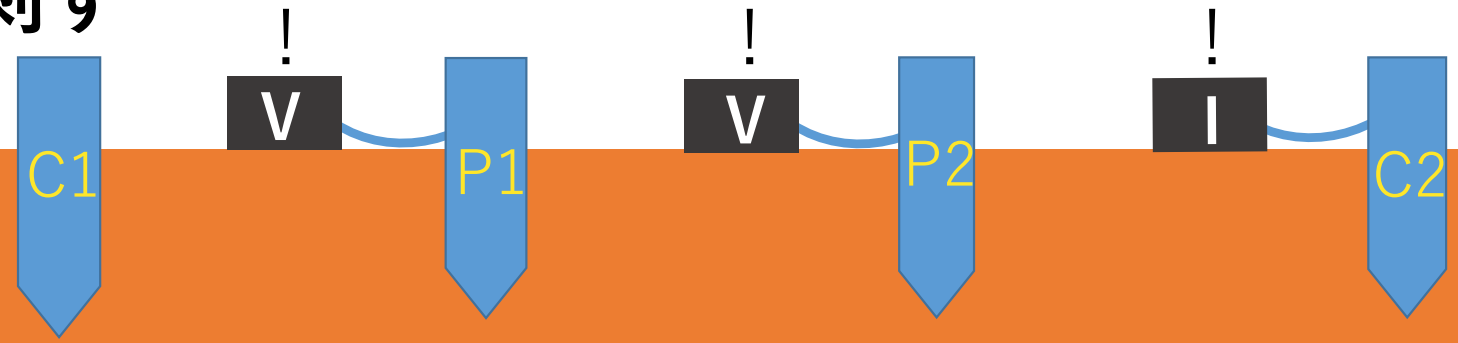
## ①電極を刺す



## ②電流を流す

# 電磁気観測の流れ

①電極を刺す



③電位と電流を測定する

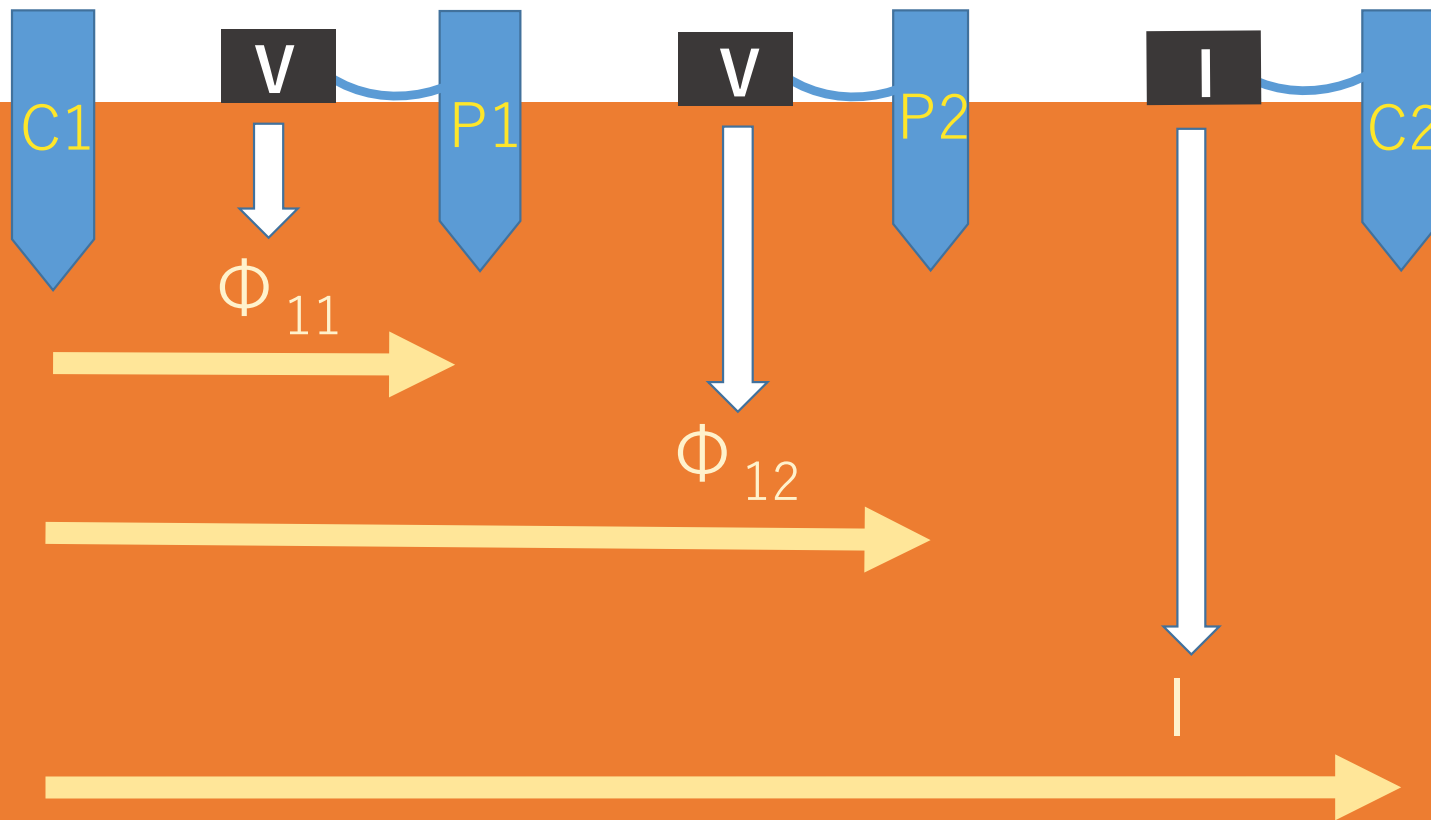
②電流を流す



観測データ

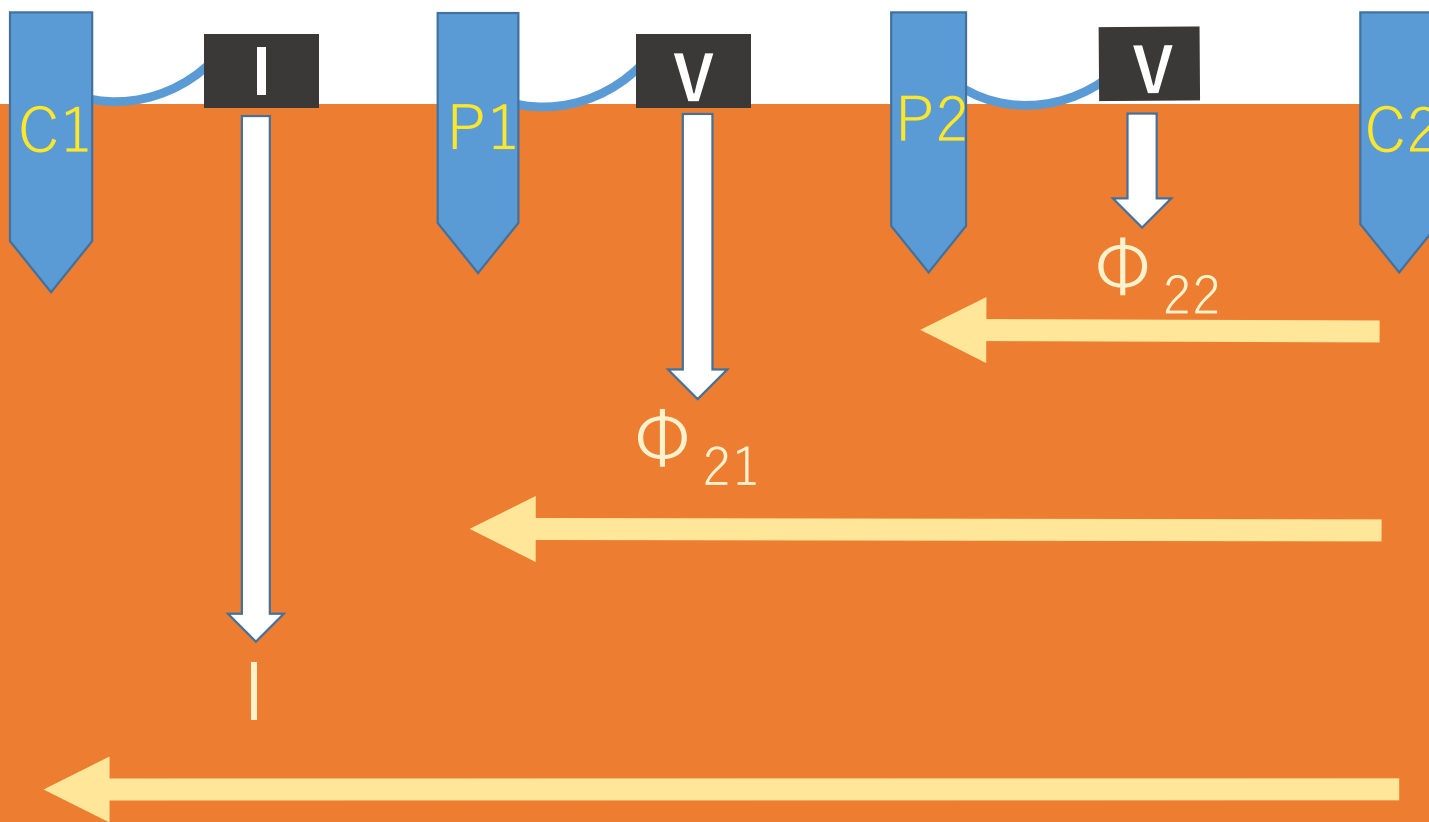
データ取得 Step1. C1から電流を流す

電流電極→C  
電位電極→P 電位→ $\Phi$



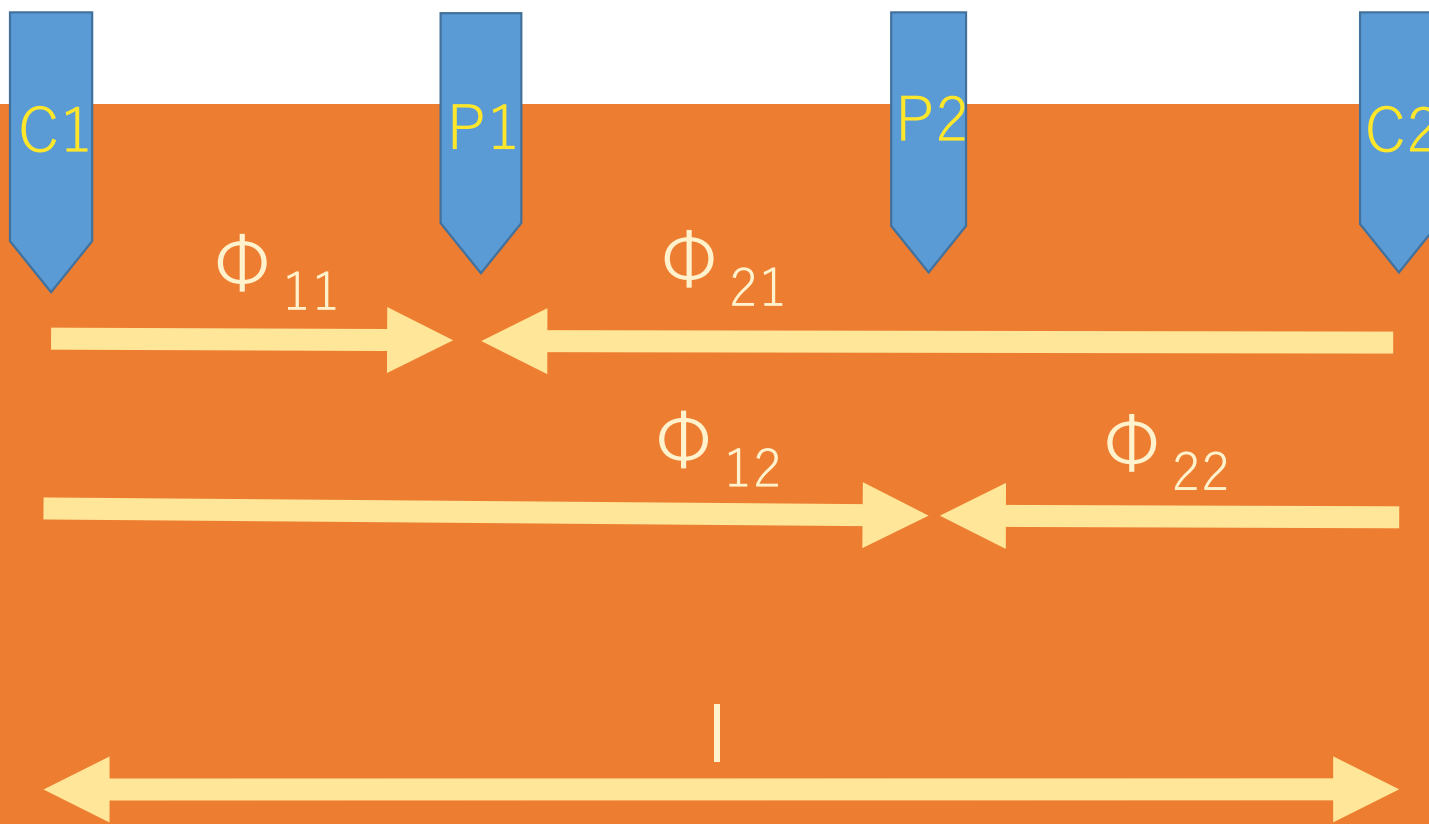
データ取得 Step2. C2から電流を流す

電流電極→C  
電位電極→P 電位→ $\Phi$



# データまとめ

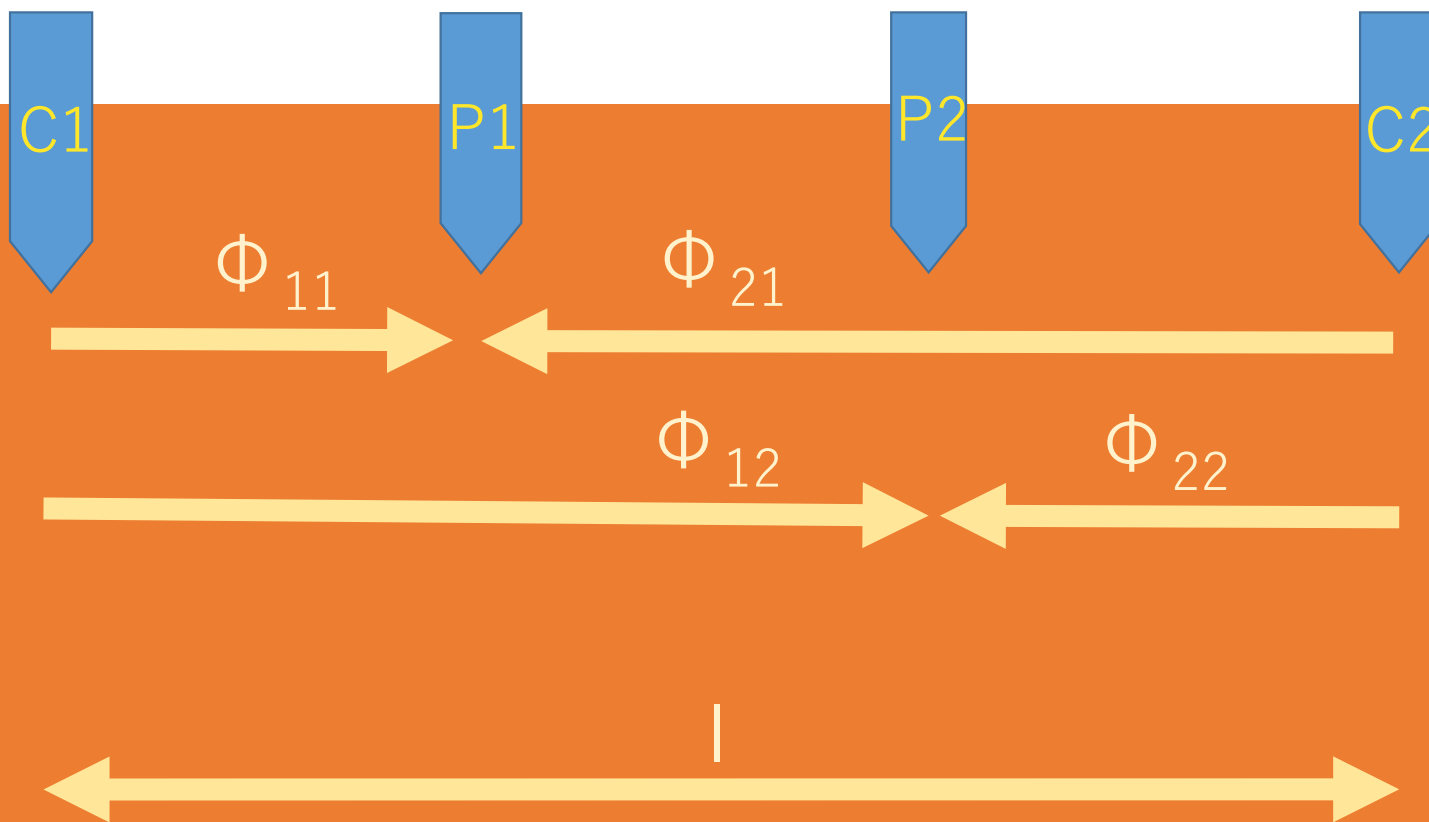
電流電極→C  
電位電極→P 電位→ $\Phi$



# データ処理

# データまとめ

電流電極→C  
電位電極→P 電位→ $\Phi$



# データまとめ

電流電極→C

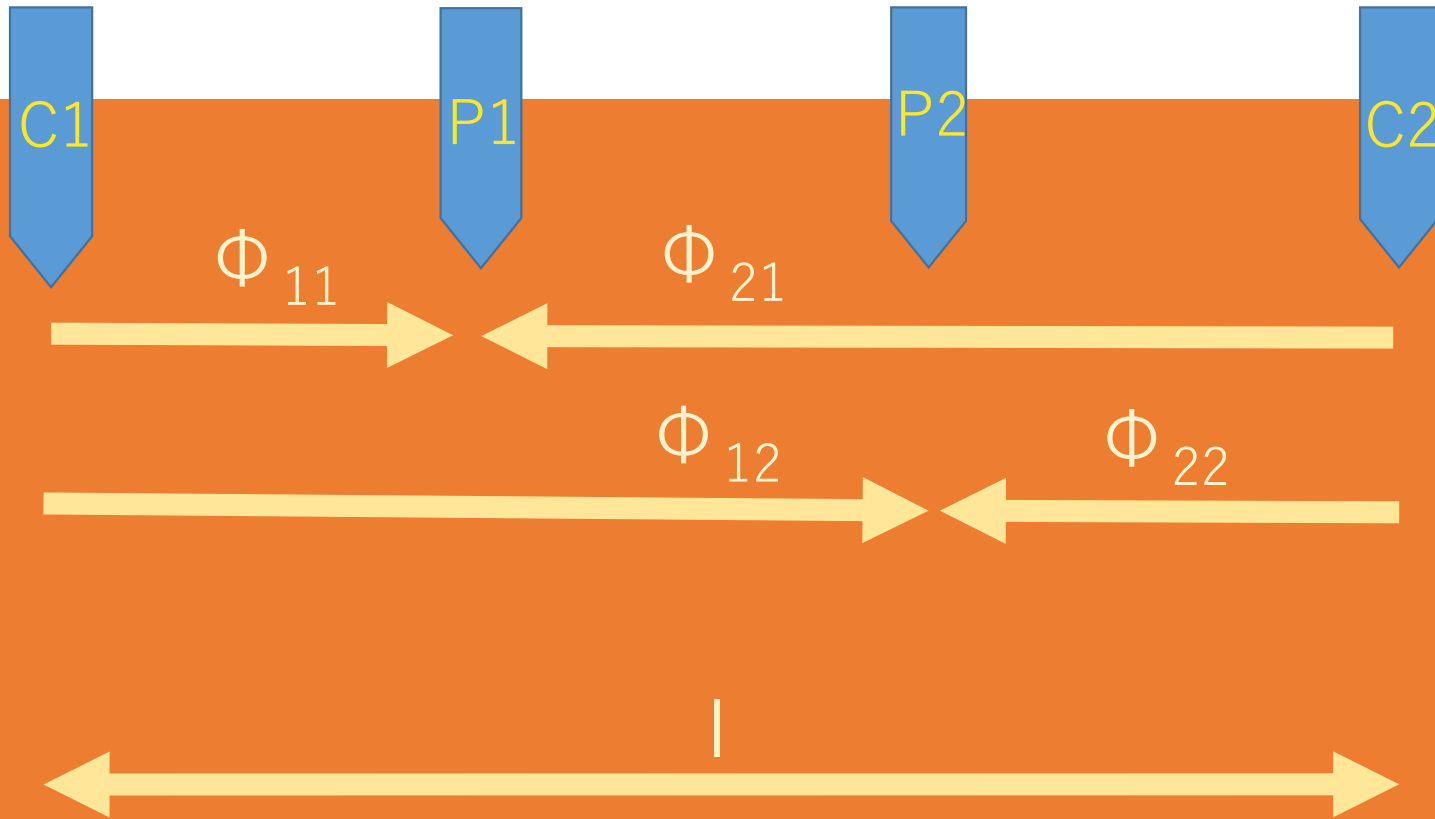
電位電極→P 電位→ $\Phi$

電位

$$\Phi_1 = \Phi_{11} + \Phi_{21}$$

電位

$$\Phi_2 = \Phi_{12} + \Phi_{22}$$



# 電位の計算

電流電極→C  
電位電極→P 電位→ $\Phi$



P1-P2電位差  $V = \Phi_1 - \Phi_2$

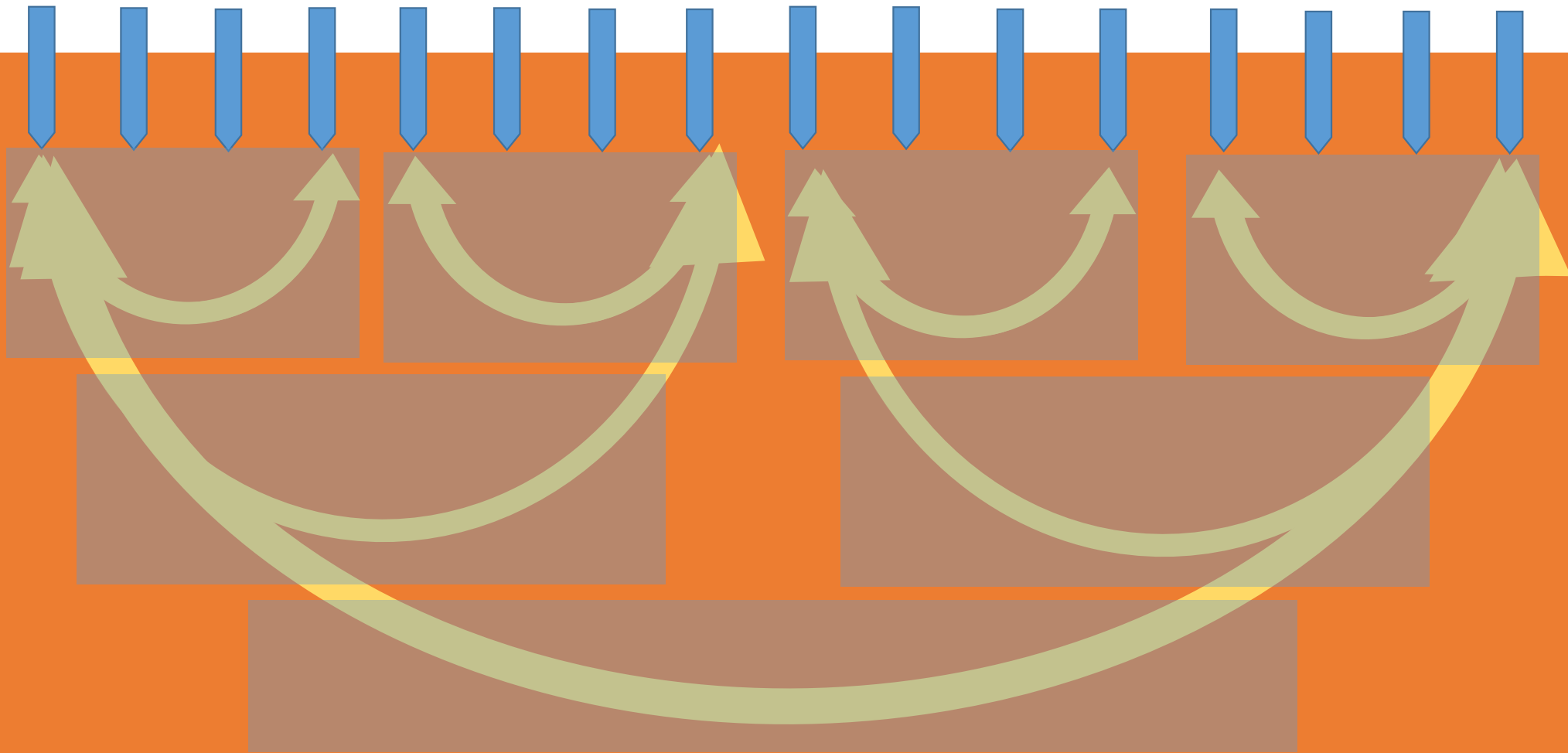
C1-C2電流  $I$  (測定値)

見かけ比抵抗  $\rho = K (V/I)$

Kは電極配置定数

# 電極間隔と比抵抗深さ

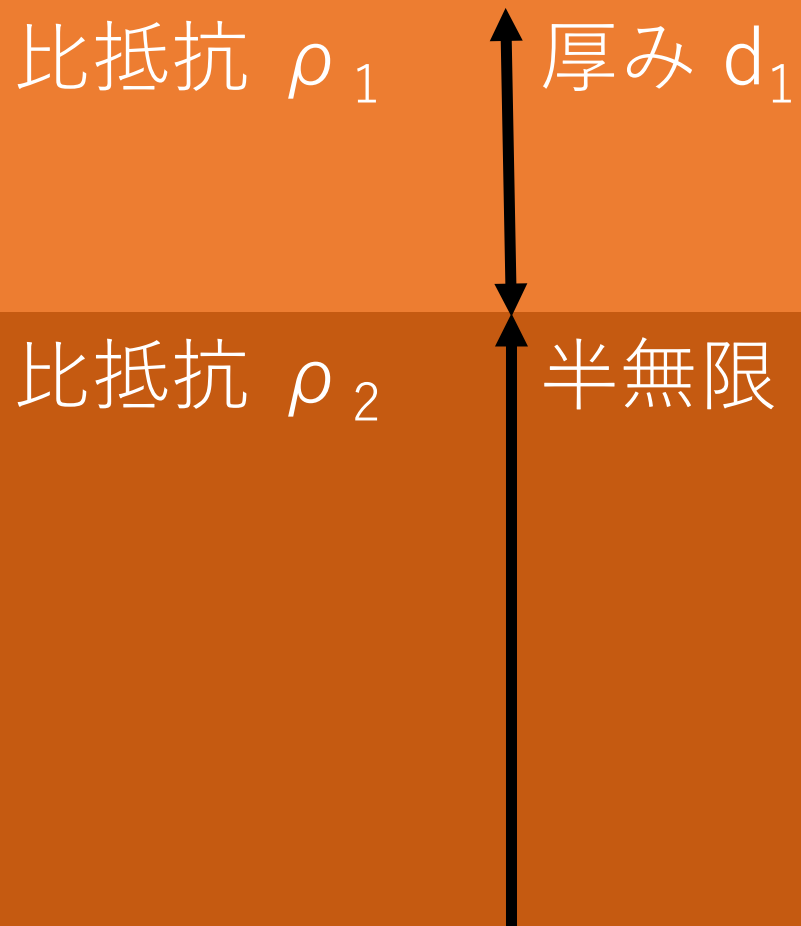
電極間隔を広げることで  
深い位置の見掛比抵抗が分かる



# 解析モデル リニアフィルター法

# 1次元モデル

深さ方向に構造を与えて計算  
水平構造なしと仮定



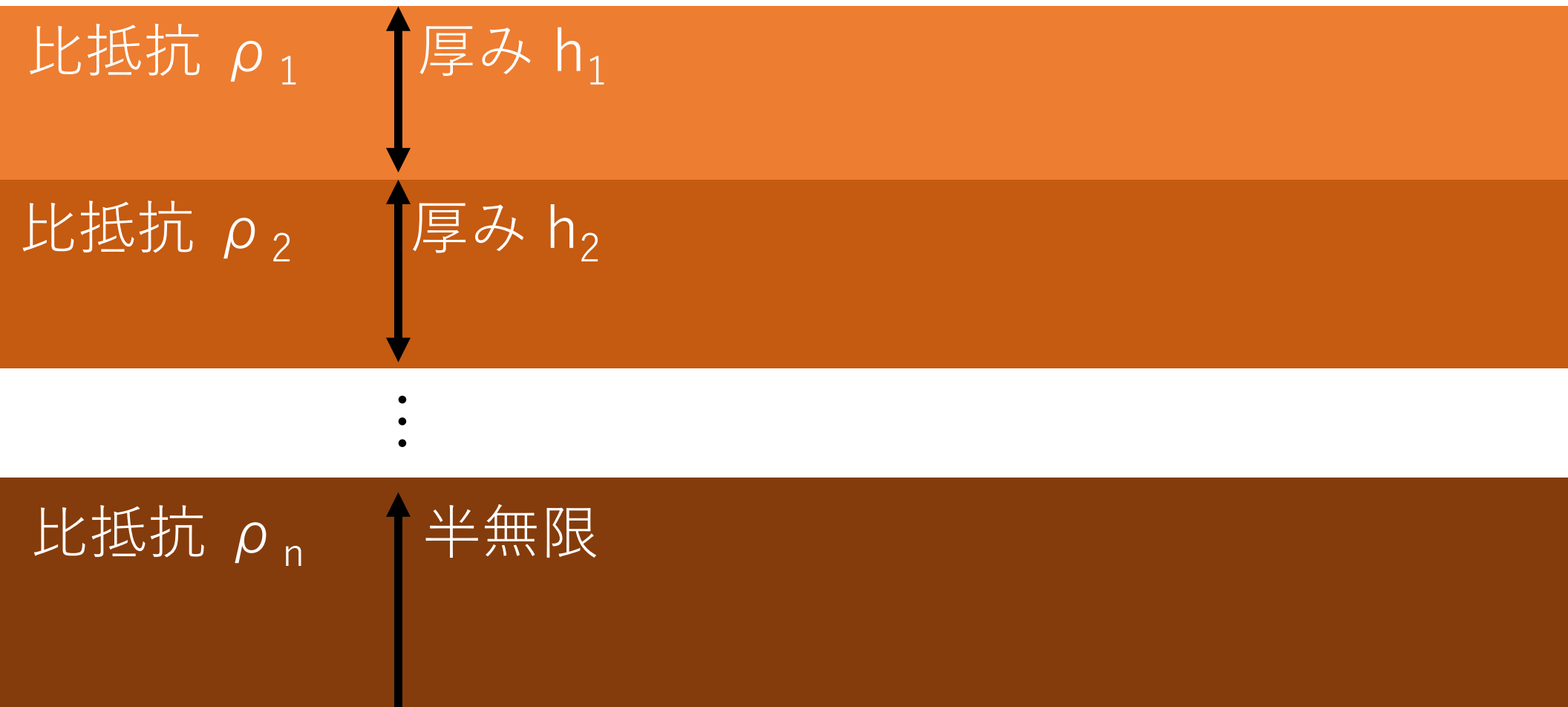
# 1次元多層モデル

比抵抗  $\rho_1$       厚み  $h_1$

比抵抗  $\rho_2$       厚み  $h_2$

⋮

比抵抗  $\rho_n$       半無限



# 1次元多層モデル

リニアフィルター法

電流源

距離  $r$

電位  $\phi$

比抵抗  $\rho_1$

厚み  $h_1$

比抵抗  $\rho_2$

厚み  $h_2$

比抵抗  $\rho_n$

半無限

電流源に対して電位  $\phi$  を求める式

$$\phi = \frac{I}{2\pi} \int_0^{\infty} T(\lambda) J_0(\lambda r) d\lambda$$

$I$  は電流、 $J_0$  は0階のベッセル関数

$T$  は比抵抗変換と呼ばれ、以下の漸化式 ( $n \rightarrow 1$ ) より計算

$$T(\lambda) = T_1,$$

$$T_i = \frac{T_{i+1} + \rho_i \tanh(\lambda h_i)}{1 + T_{i+1} \tanh(\lambda h_i) / \rho_i},$$

$$T_n = \rho_n$$

# 方法 観測場所

浅间山黒豆河原



# 方法 観測機器設置

1. 東西方向に電極（杭）を地面に固定

電極

リレーボックス

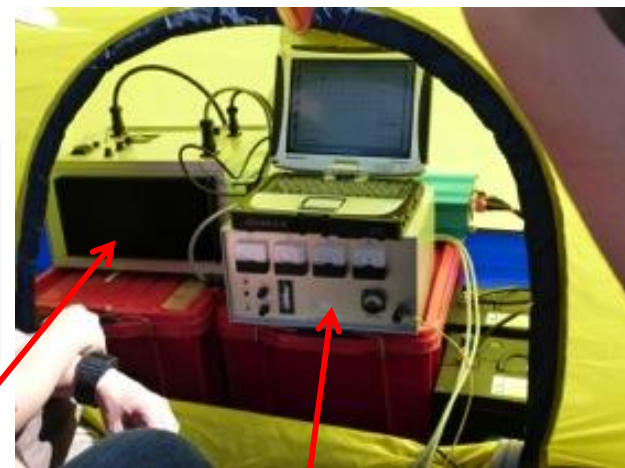
2. 電極をリレーボックスにつなぎ、  
ボックス同士をケーブルで接合

ケーブル



3. テントの中に測定機器等を入れ、  
回路と接続

電流を流す機器

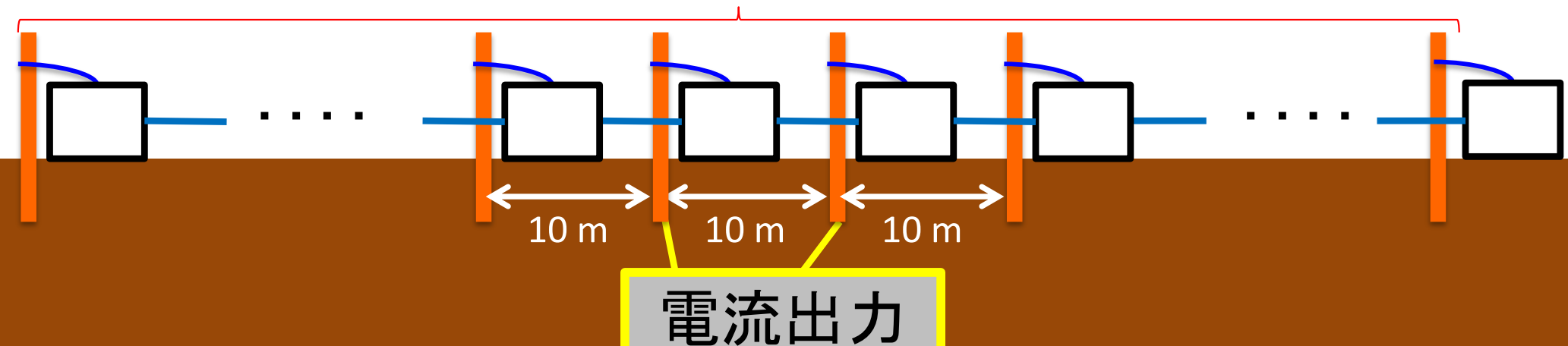


リレーボックスに指令を与える機器  
電流・電圧を測定

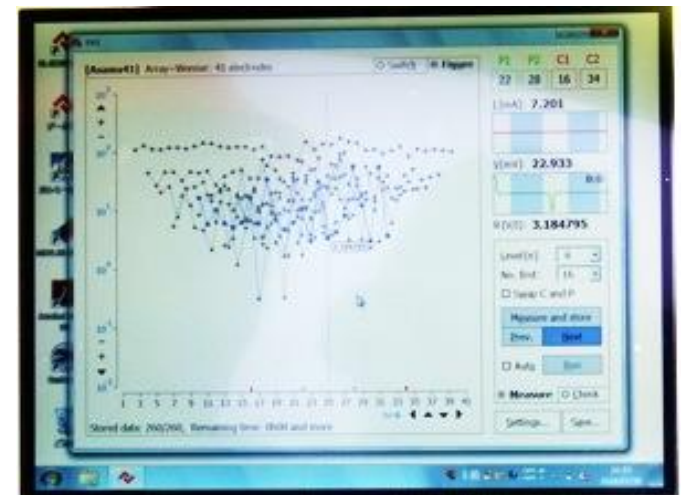
# 方法 観測機器設置

電極を全て等間隔に配列・・・Wenner配置

41個の電極

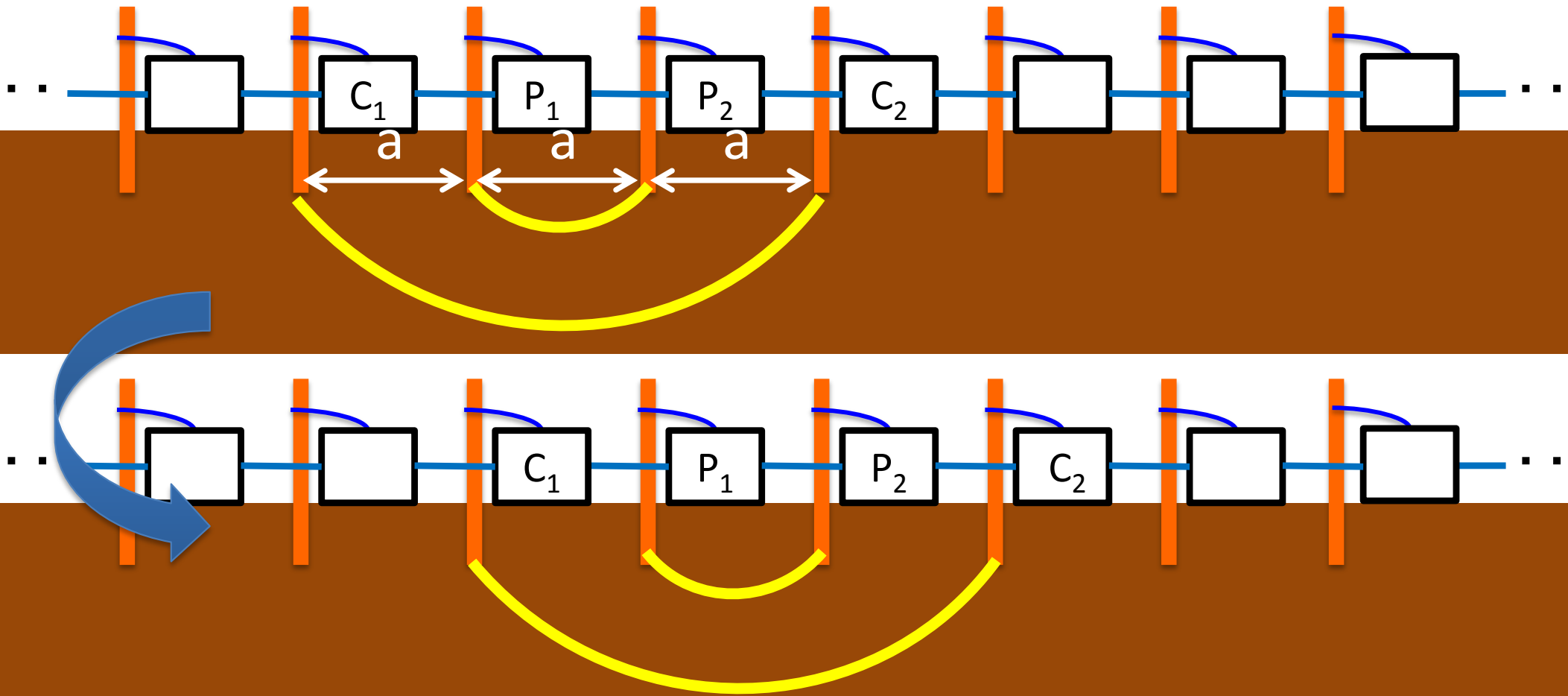


実際の様子



使用する電極・測定時間等を制御

# 方法 Wenner配置 $a = 10$

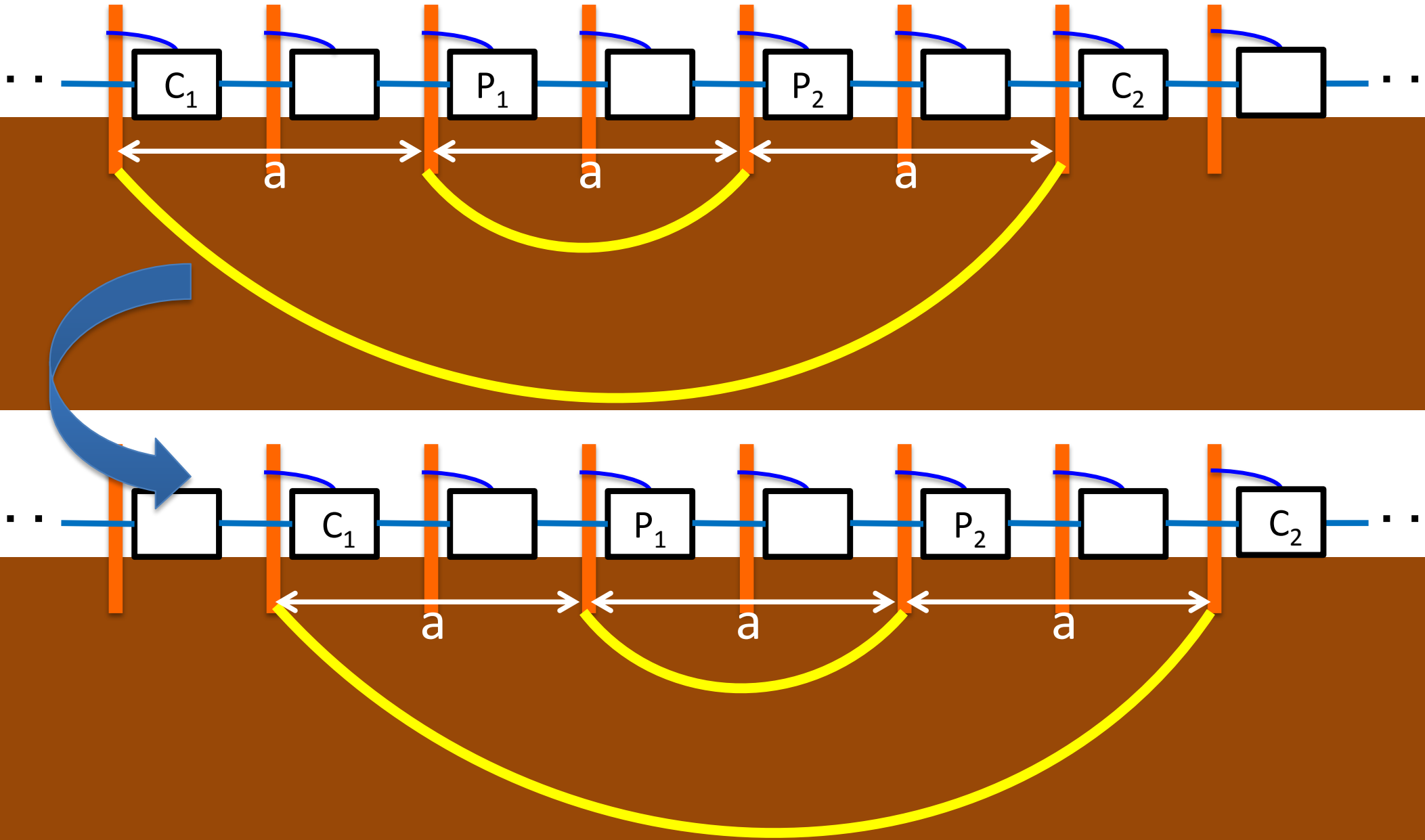


見かけ比抵抗  
(Wenner配置の場合)

$$\rho = 2\pi a \frac{V}{I}$$

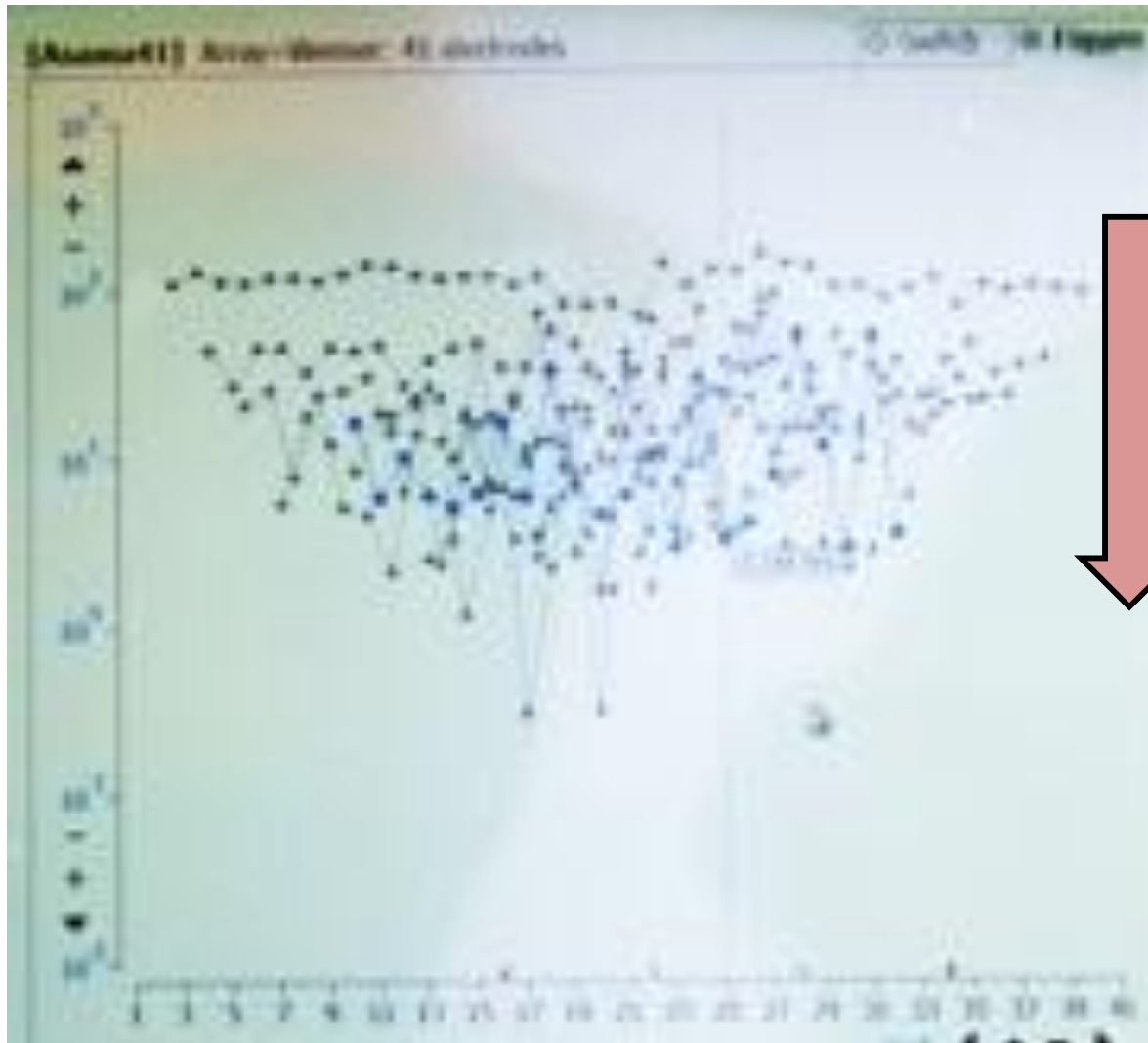
$a$ : 電極の間隔 (m)  
 $V$ : 電圧 (mV)  
 $I$ : 電流 (mA)

# 方法 Wenner配置 $a = 20$



# 方法 電極番号 vs 抵抗値

1組の配置での測定が終わるごとに抵抗値 (V/I) が出現



間隔が広がると  
抵抗値が減少

# 方法 観測地点



観測準備の様子



0番電極: 北緯36度25分25.8秒, 東経138度32分59.7秒, 標高1475 m

40番電極: 北緯36度25分27.7秒, 東経138度33分15.6秒, 標高1435 m

# Results of 2016 Resistivity Survey of Mount Asama



# Analytical Solution (2 Layer Model)

$$\rho_a = \rho_1 \left[ 1 + 4 \sum_n \frac{\left( \frac{\rho_2/\rho_1 - 1}{\rho_2/\rho_1 + 1} \right)^n}{\sqrt{1 + 4n^2(d/r)^2}} - 2 \sum_n \frac{\left( \frac{\rho_2/\rho_1 - 1}{\rho_2/\rho_1 + 1} \right)^n}{\sqrt{1 + n^2(d/r)^2}} \right]$$

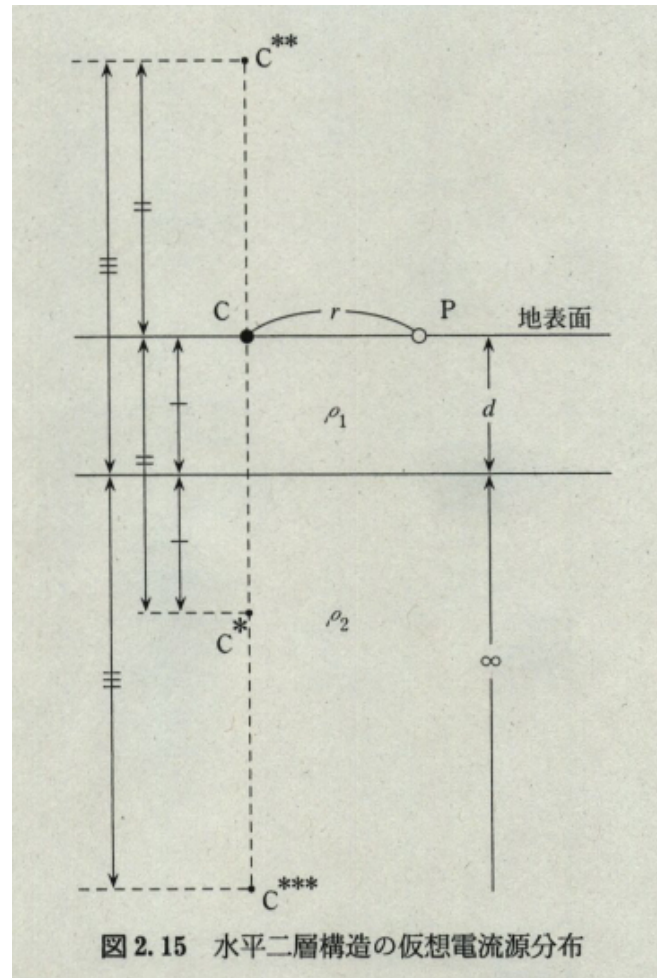


図 2.15 水平二層構造の仮想電流源分布

# Digital Linear Filter Method ( $n$ layer model)

Given a Hankel transform  $\phi = \frac{l}{2\pi} \int T(\lambda) J_0(\lambda r) d\lambda$

The kernel  $T(\lambda)$  can be obtained numerically through recursion

$$T(\lambda) = T_1, T_i = \frac{T_{i+1} + \rho_i \tanh(\lambda h_i)}{1 + T_{i+1} \tanh(\lambda h_i) / \rho_i}, T_n = \rho_n$$

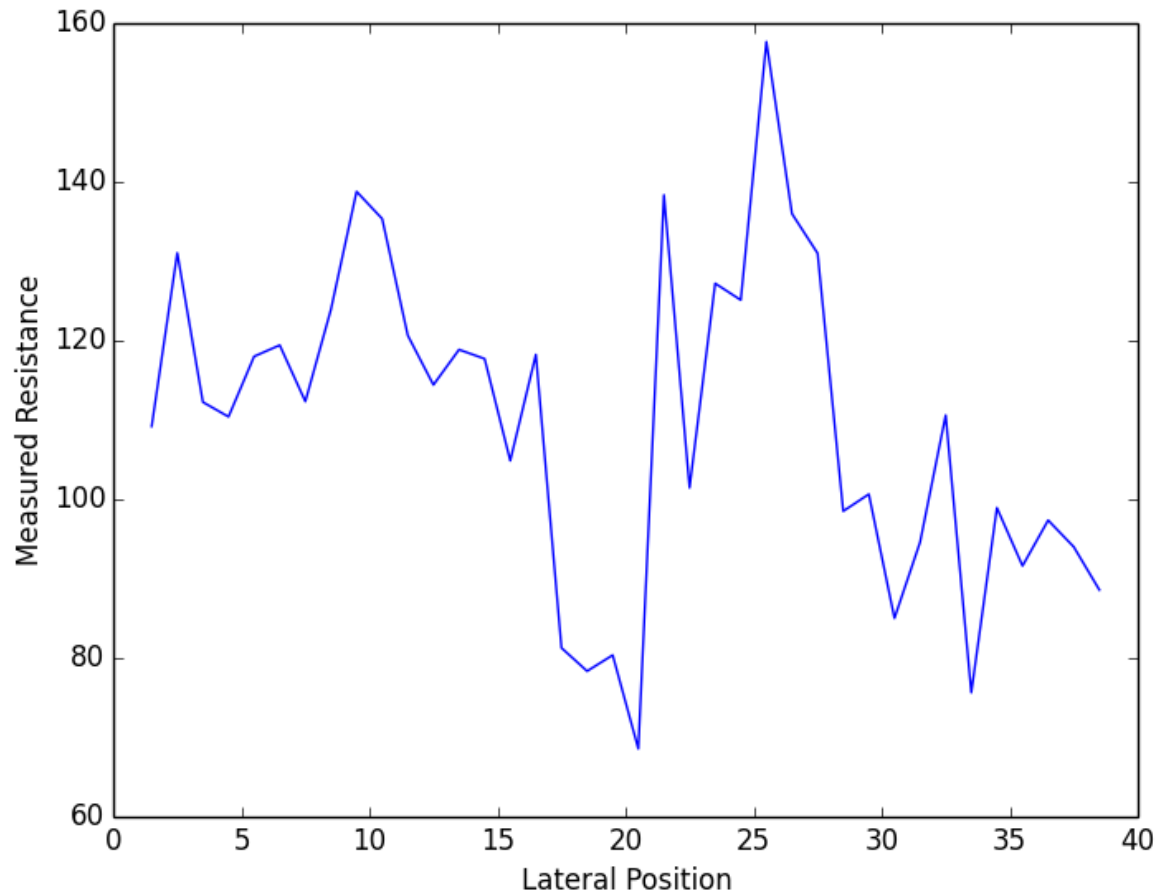
Using a set of  $n$  abscissae  $\lambda_i = \frac{1}{r} 10^{a+(i-1)s}$ , the Hankel transform can be discretized to

$$\phi = \frac{l}{2\pi r} \sum_i T(\lambda_i) W_i$$

where  $W_i$  are filter weights.

# Raw Data

Raw data is resistance as a function of electrode position.



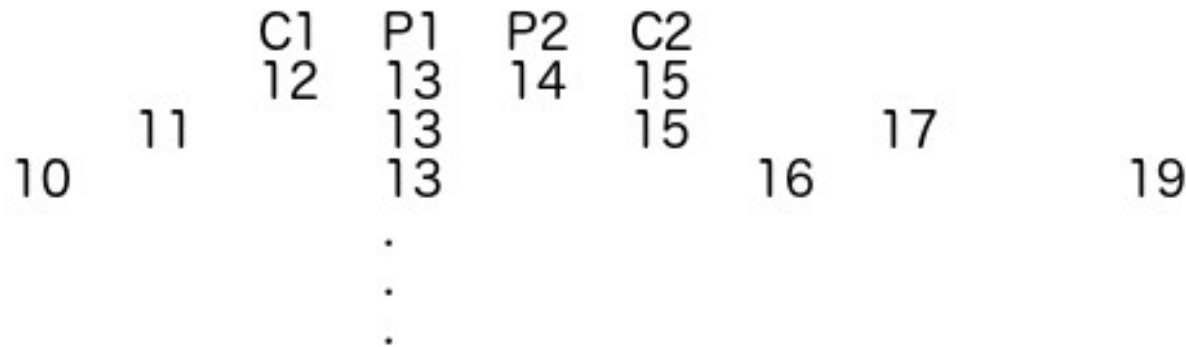
Multiple sets of such data was extracted for a set of different electrode spacings.

# Results 1a

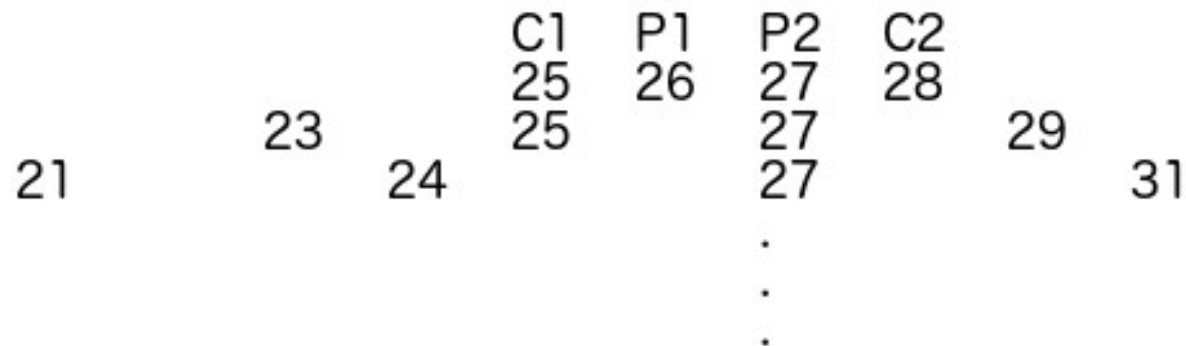
Fix position of one potential electrode and expand along the array.

Plot the measured resistivity as a function of electrode spacing.

Forward Direction: expansion around P1=13

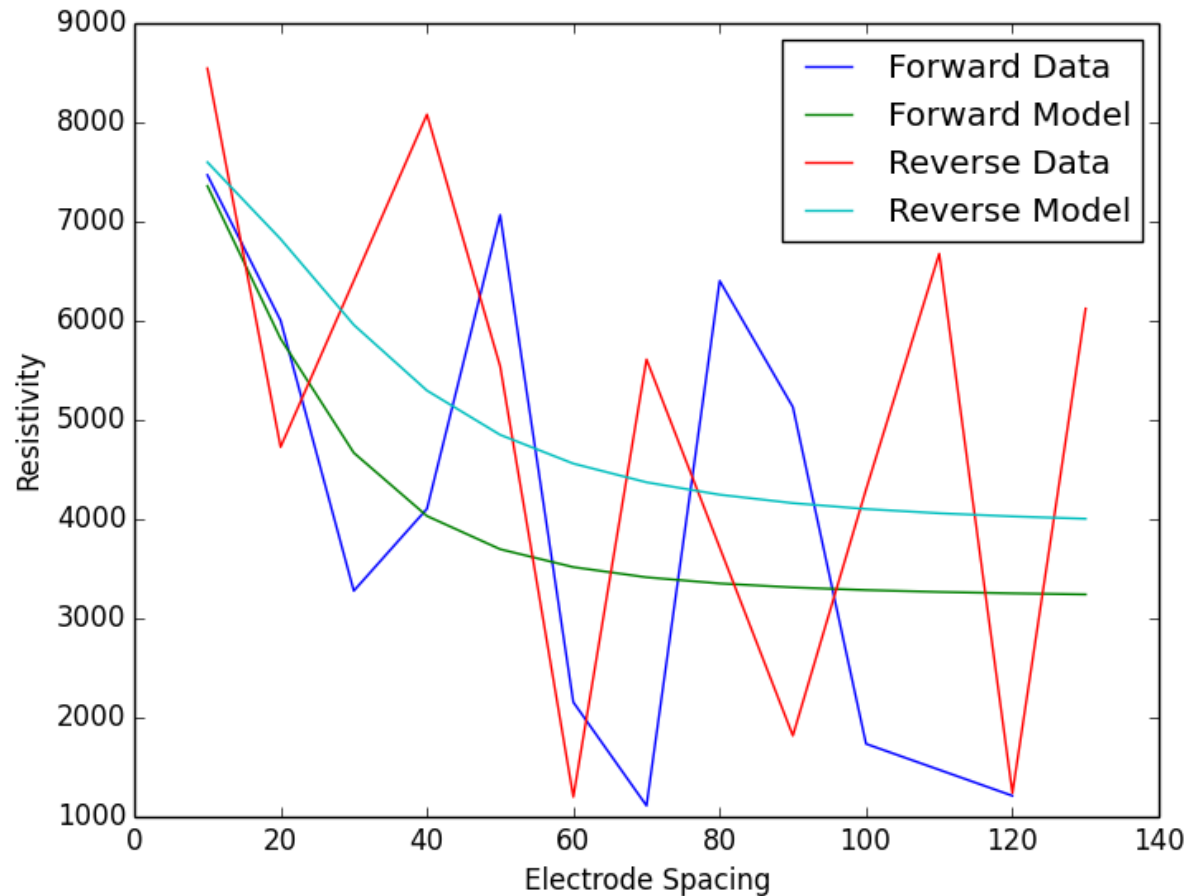


Reverse Direction: expansion around P2=27



# Results 1b

2 layer model non linear inversion using Python.

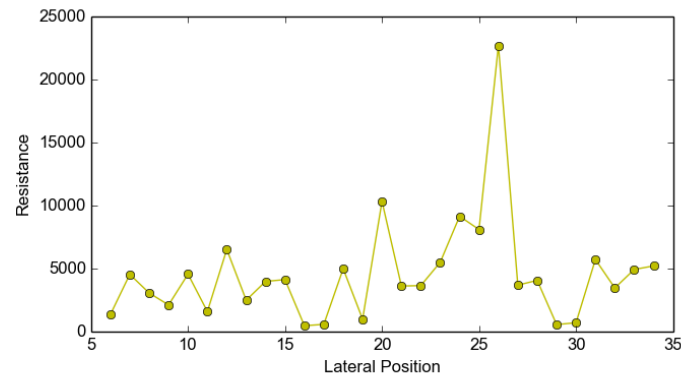
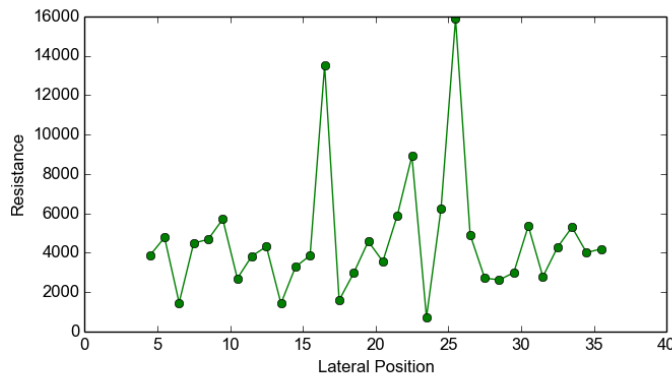
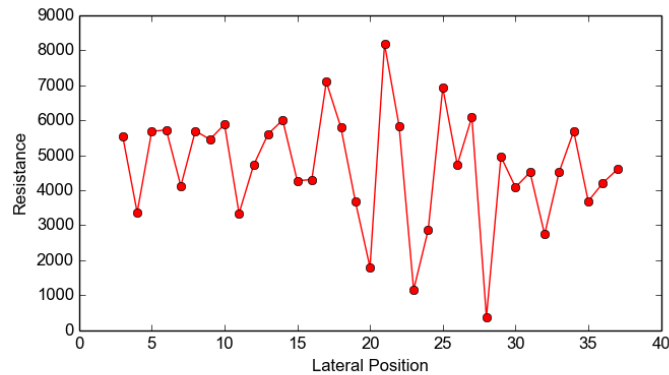
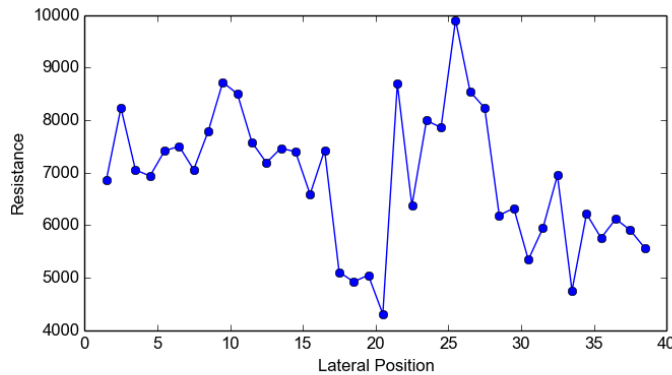


Forward:  $\rho_1 = 7960\Omega\text{m}$ ,  $\rho_2 = 3190\Omega\text{m}$ ,  $d = 14\text{m}$ .

Reverse:  $\rho_1 = 7800\Omega\text{m}$ ,  $\rho_2 = 3880\Omega\text{m}$ ,  $d = 19\text{m}$ .

# Results 2a

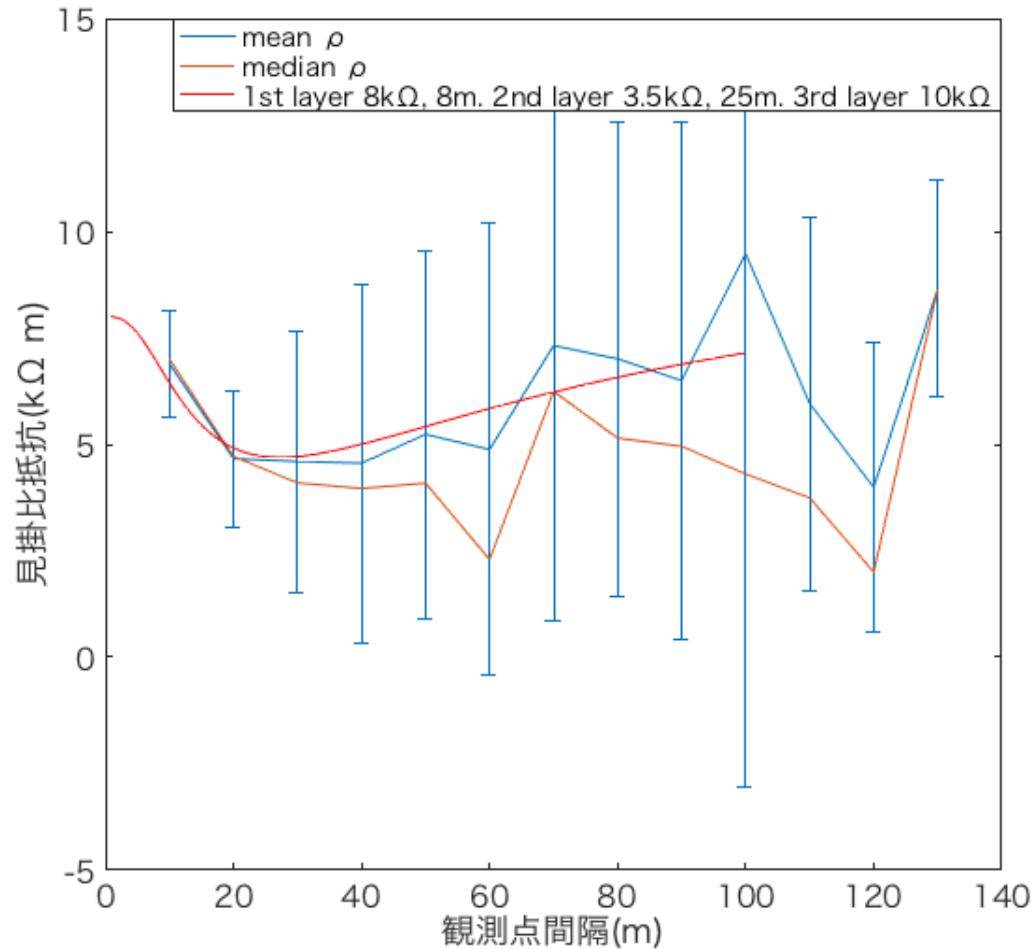
For each set of data corresponding to one electrode spacing, find the average/median resistivity.



Plot the average/median resistivity as a function of electrode spacing.

# Results 2b

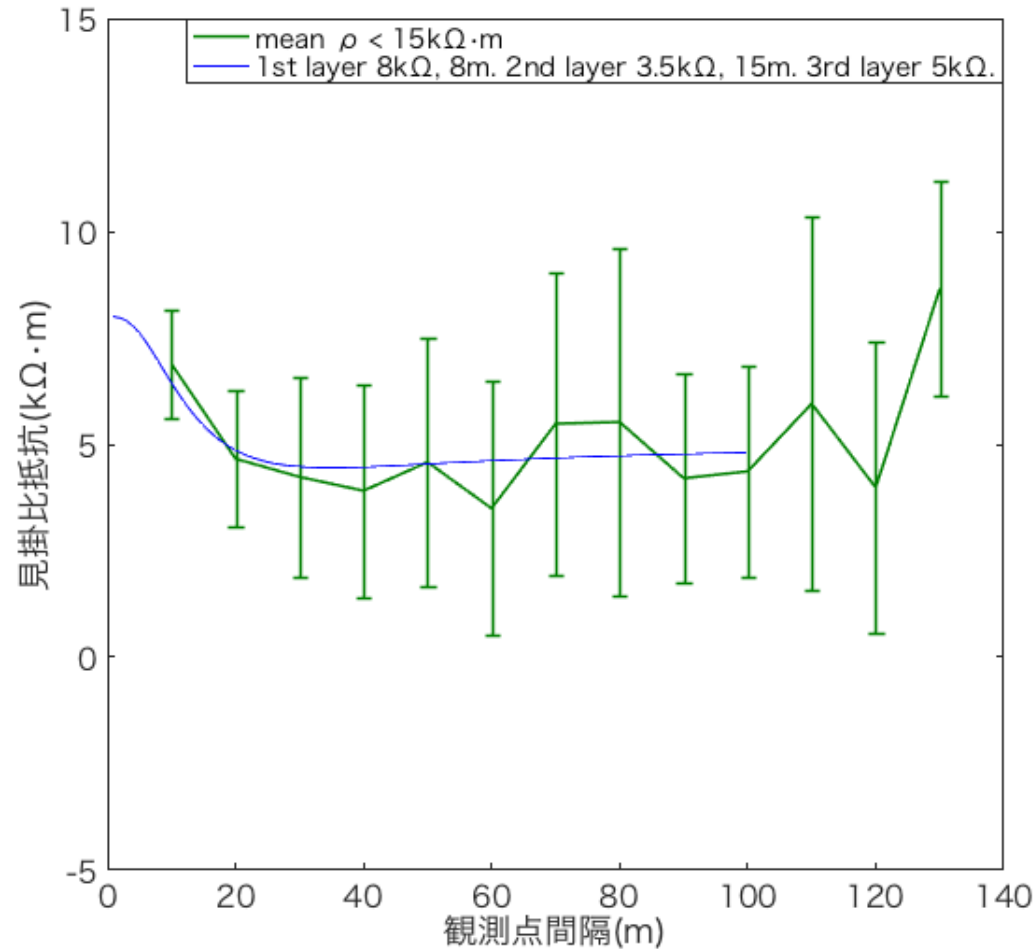
Using all 260 data points, fitting through trial and error.



Model parameters:  $\rho_1 = 8000\Omega\text{m}$ ,  $\rho_2 = 3500\Omega\text{m}$ ,  
 $\rho_3 = 10000\Omega\text{m}$ ,  $d_1 = 8\text{m}$ ,  $d_2 = 25\text{m}$ .

# Results 2c

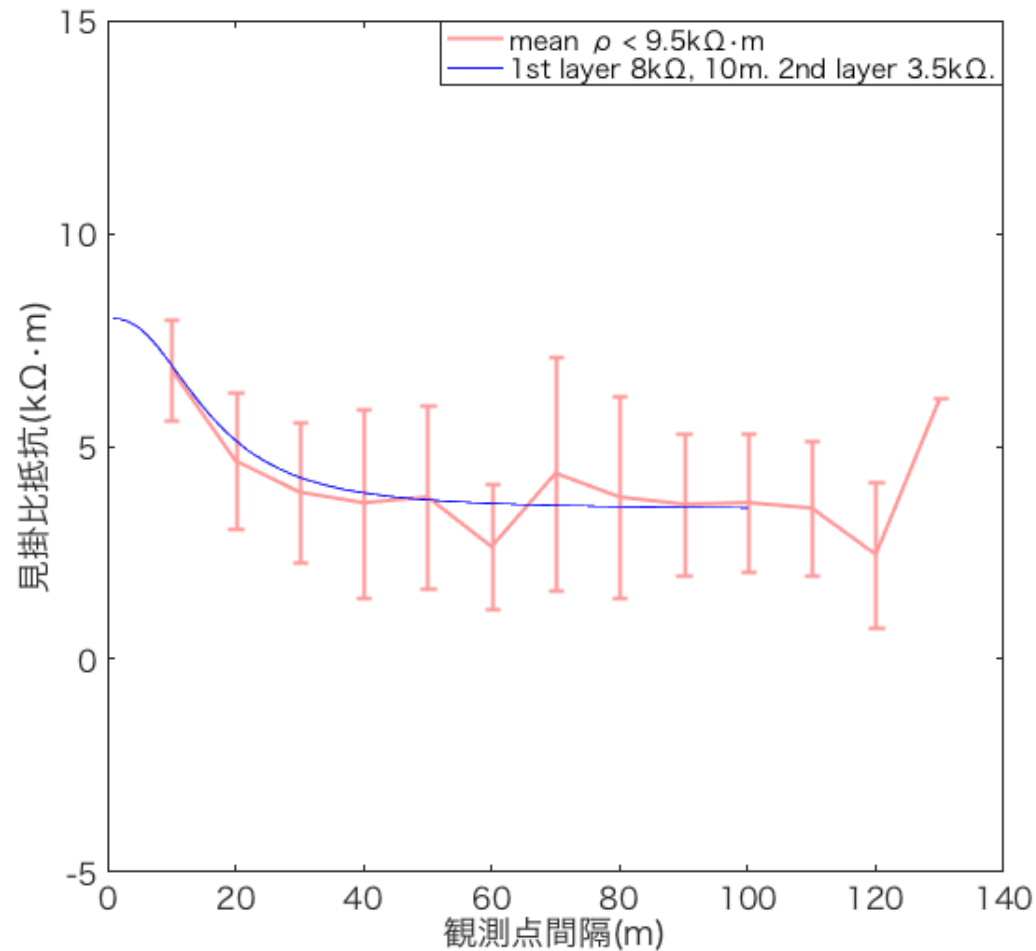
Excluding data points larger than 15 kΩm.



Model parameters:  $\rho_1 = 8000\Omega\text{m}$ ,  $\rho_2 = 3500\Omega\text{m}$ ,  
 $\rho_3 = 5000\Omega\text{m}$ ,  $d_1 = 8\text{m}$ ,  $d_2 = 15\text{m}$ .

# Results 2d

Excluding data points larger than 9.5 kΩm.

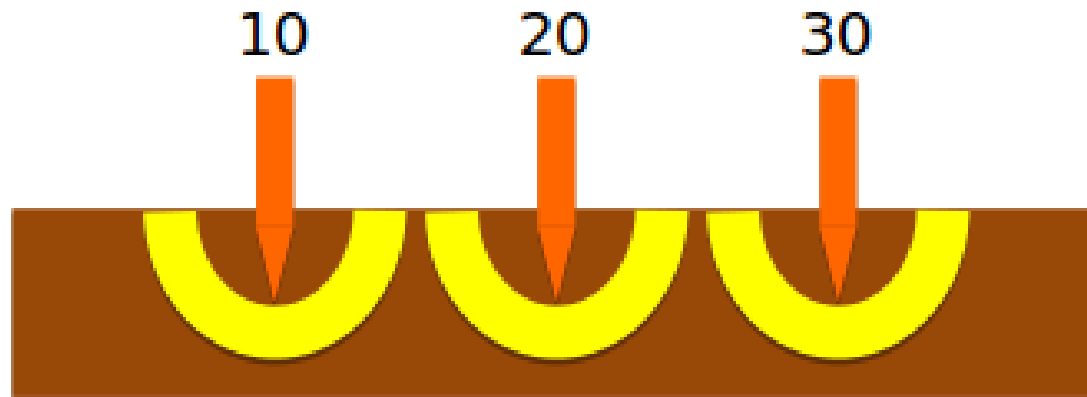


Model parameters:  $\rho_1 = 8000 \Omega \text{m}$ ,  $\rho_2 = 3500 \Omega \text{m}$ ,  $d = 10 \text{ m}$ .

# Results 3a

Select for analysis only the electrodes 10, 20, 30.

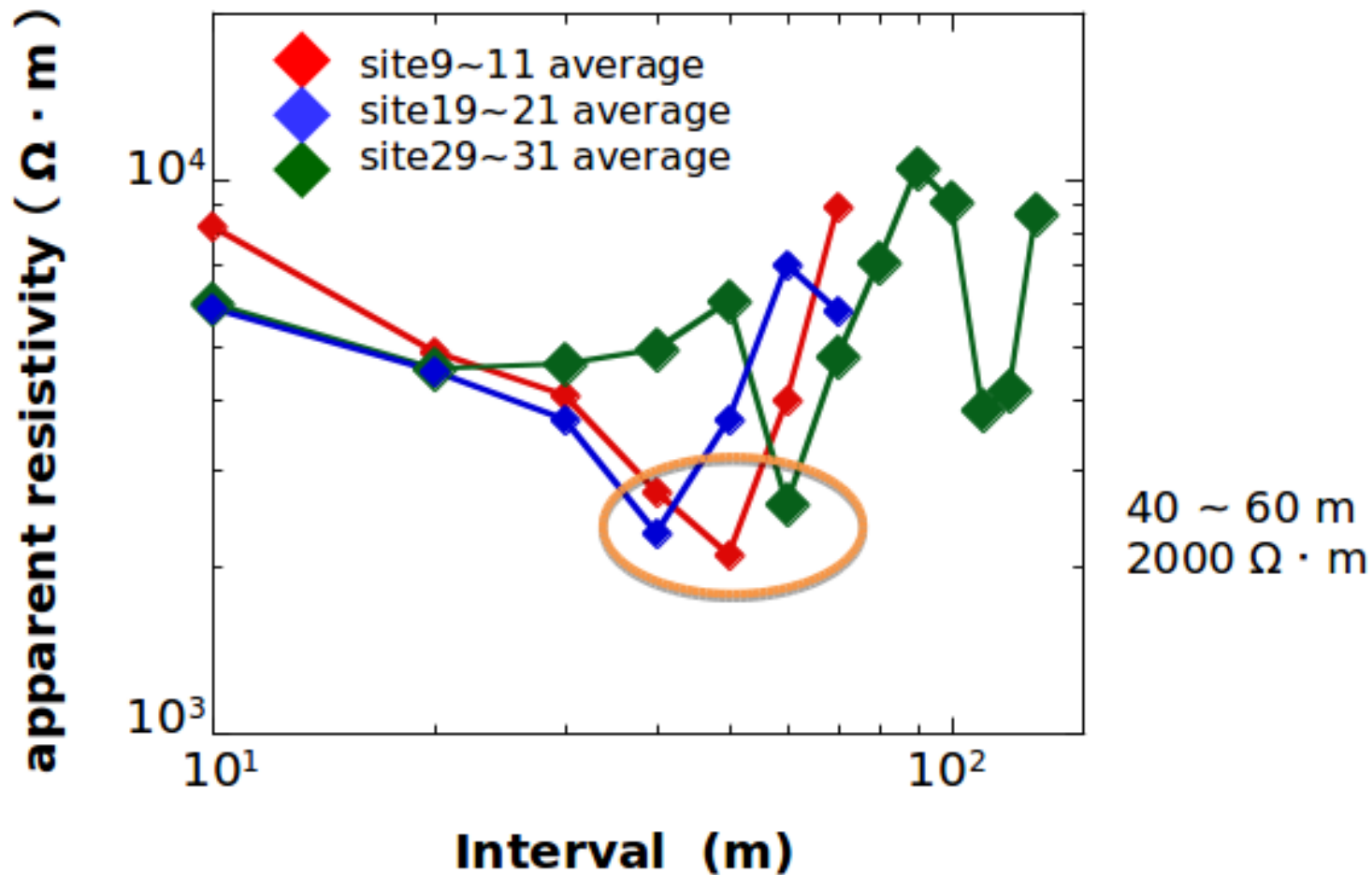
Calculate average measured values of the selected electrodes and the electrodes next to them.



## Results 3b

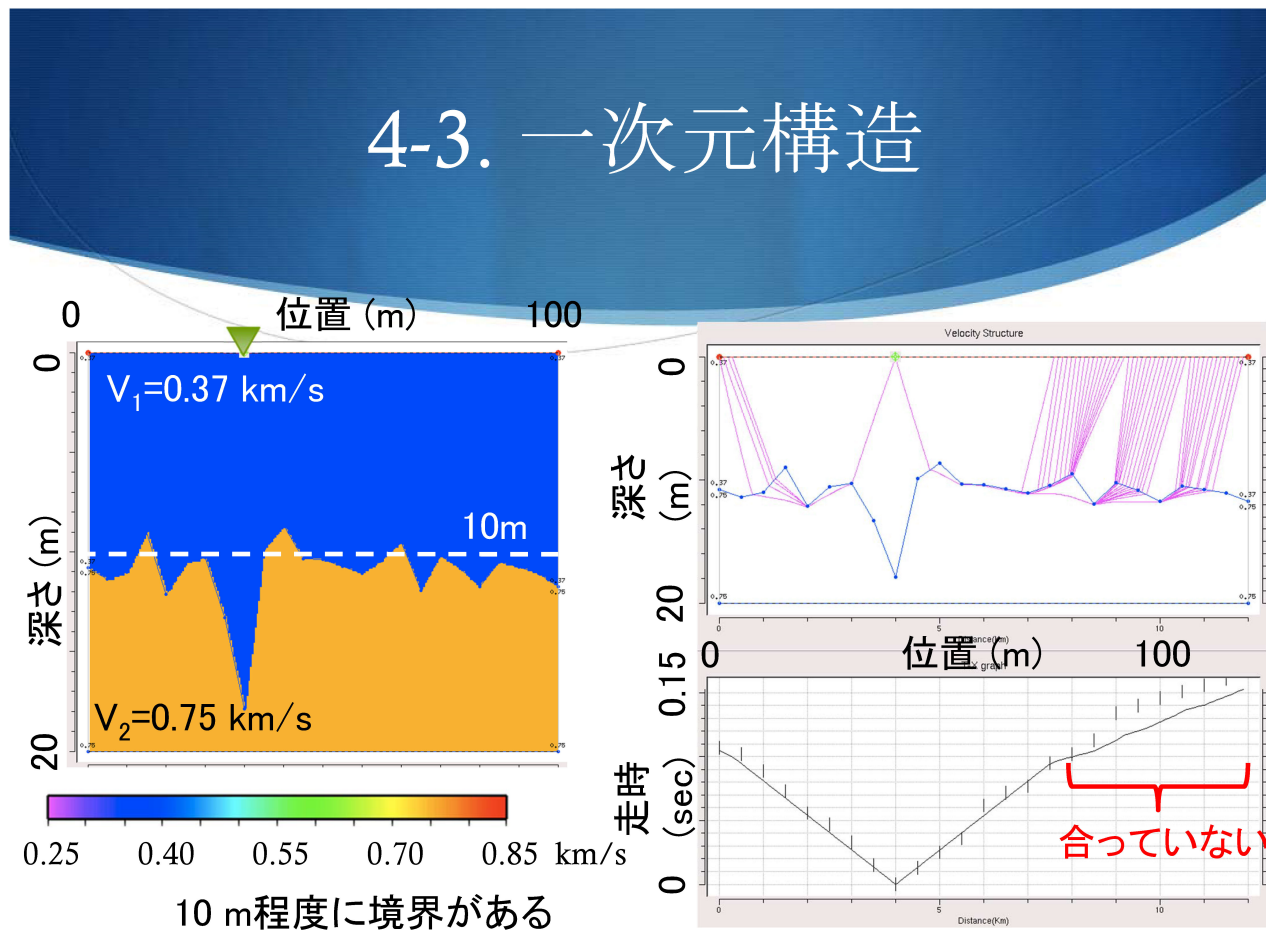
Turning point observed in graph at 40 - 60 m bsl, with minimum resistance of 2000  $\Omega\text{m}$ .

Might indicate a boundary between two layers.



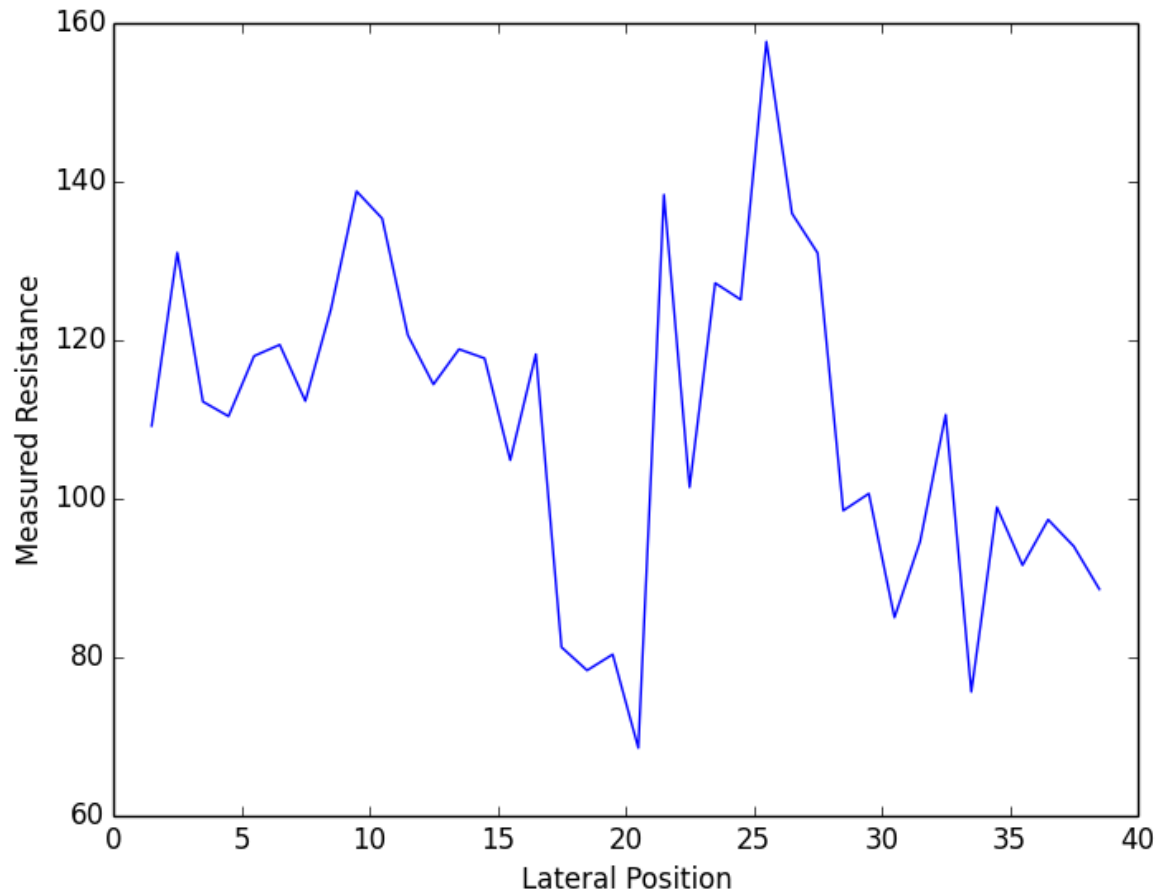
# Comparison with Seismic Wave Group of 2013

Modelled 2 layer model with thickness of order 10 m agrees well with values obtained by Seismic Wave Group (Okano, Yabe, Nishikawa and Profs. Shiobara, Mochizuki and Miyake, 2013)



# Other Possible Analyses

Lateral electrical profiling can be done using the same data.



However, lateral electrical profiling is still limited to 1 dimension. Electrical imaging should be used to obtain a 2 dimensional pseudosection.

# Prospects

Minimum electrode spacing of 10 m, maximum electrode spacing of 130 m.

Corresponding penetration depths of 5 m and 65 m respectively.



# Prospects

Very noisy data with extremely large measured values in excess of 10000  $\Omega\text{m}$  due to small (mA) currents and large contact resistances.

Model solutions are non-unique due to current refraction.  
Need to compare results with other measurements e.g. borehole drilling.

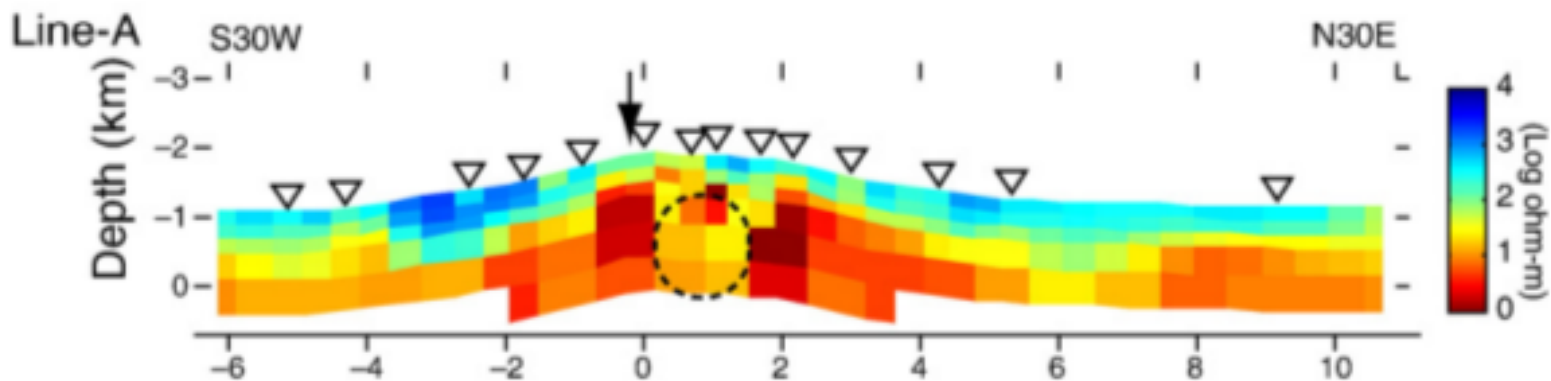


Figure : N-S resistivity profile of Mount Asama <sup>1</sup>

<sup>1</sup>K. Aizawa et al. Journal of Volcanology and Geothermal Research 173 (2008) 165-177